

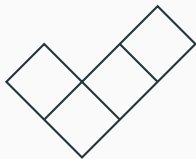
# Limites de tableaux de Young aléatoires : une approche déterminantale

---

Jacopo Borga, **Cédric Boutillier**, Valentin Féray, Pierre-Loïc Méliot  
Séminaire Flajolet, 27 septembre 2023

# Tableaux de Young Standard (YST)

diagramme de Young d'une partition  $\lambda$



# Tableaux de Young Standard (YST)

diagramme de Young d'une partition  $\lambda$

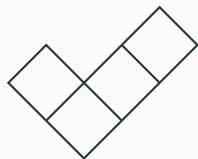
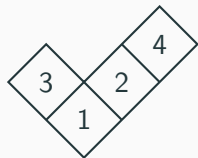


tableau de Young standard de forme  $\lambda$

- remplissage des cases de  $\lambda$  de 1 à  $n = |\lambda|$
- croissant  $\uparrow$
- extension linéaire du poset décrit par  $\lambda$



## Formule des équerres (Frame, Robinson, Thrall)

$f^\lambda$  : nombre de tableaux de Young de forme  $\lambda$

$h_\square$  : longueur d'équerre de la case  $\square$  dans  $\lambda$

nb de cases dans diagonales au dessus à gauche et droite

$$f^\lambda = \frac{|\lambda|!}{\prod_{\square \in \lambda} h_\square}$$

### Exemple

$\lambda = (3, 1)$  avec longueurs d'équerre



$$f^\lambda = \frac{4!}{1 \cdot 4 \cdot 2 \cdot 1} = 3$$

# Grands tableaux de Young aléatoires

- forme globale fixée  $\lambda^0$
- $\lambda^N$  : dilatation de  $\lambda^0$  par facteur  $N$
- suite  $(T^N)$  de tableaux de Young uniformes de forme  $\lambda^N$

Que peut-on dire du comportement typique ?

**global** :  $T^N$  renormalisé comme fonction au dessus de  $\lambda^0$

**local** : position relative des éléments de  $T_N$  dans une fenêtre autour d'une case

## Existence de forme limite

- Biane : théorie des représentations asymptotiques  
concentration  $\Rightarrow$  existence forme limite
- Maślanka–Śniady (2022) : correspondance de Markov-Krein,  
compression libre. . .
- Wangru Sun (2018) : principe variationnel (entropie)

Les deux approches difficiles à manipuler

- Pittel–Romik (2007) : cas du rectangle

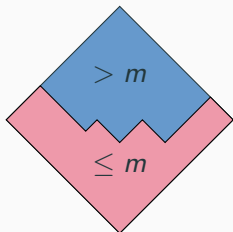
explicite mais pas généralisable

## cas de Pittel–Romik : formes carrées

$$\lambda = (\underbrace{N, \dots, N}_{N \text{ fois}}), \quad m = \alpha N^2, \alpha \in ]0, 1[$$

ligne de niveau  $m$  délimite partition  $\mu_m$

- **en dessous** : nombres  $\leq m$   
tableau de Young de forme  $\mu_m$

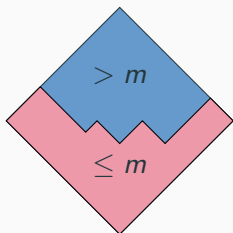


## cas de Pittel–Romik : formes carrées

$$\lambda = (\underbrace{N, \dots, N}_{N \text{ fois}}), \quad m = \alpha N^2, \alpha \in ]0, 1[$$

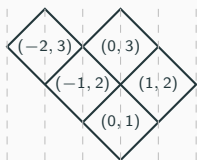
ligne de niveau  $m$  délimite partition  $\mu_m$

- **en dessous** : nombres  $\leq m$   
tableau de Young de forme  $\mu_m$
- **au dessus** : nombres  $> m$   
aussi tableau de Young  
après  $j \mapsto N^2 + 1 - j$  et retournement

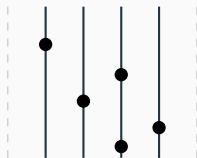


$$\mathbb{P}(\mu_m = \nu) = \frac{1}{f^\lambda} \cdot f^\nu \times f^{\lambda \setminus \nu}$$

## Approche ici : lien avec config. de perles



$\lambda$



$$V_\lambda = \{(t_{x,y}) \in [0, 1]^{|\lambda|} ; \text{inégalités}\}$$

Stanley : tableau de Young de forme  $\lambda \leftrightarrow$  simplexe de  $V_\lambda$

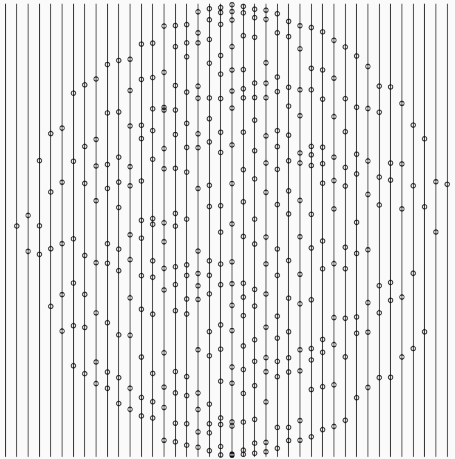
$$\text{Vol}(V_\lambda) = \frac{1}{|\lambda|!} \cdot f^\lambda$$

**Tableau de Young poissonisé / continu :**

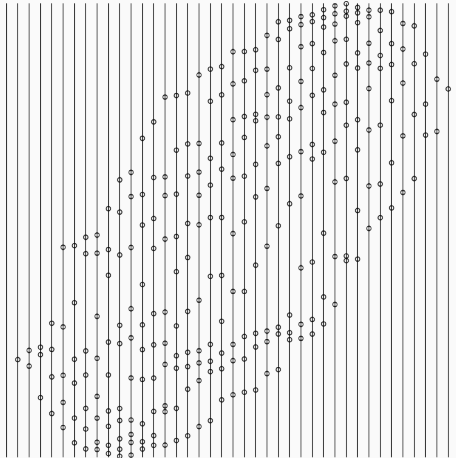
forme  $\lambda$  remplie avec ordonnées des perles

**Q : limite d'échelle pour perles / tableaux poissonisés ?**

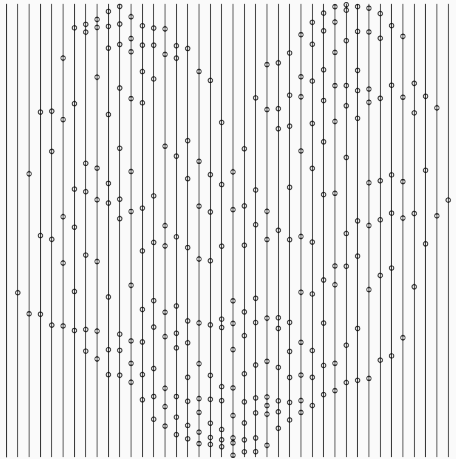
# Perles pour une forme carrée $20 \times 20$



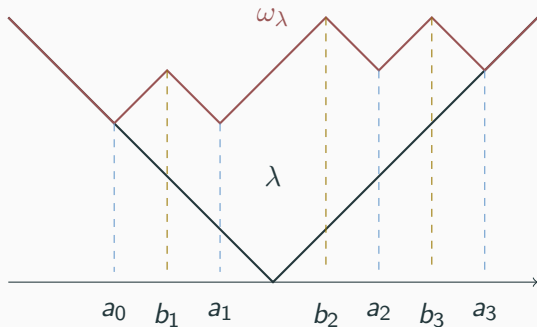
# Perles pour une forme rectangle $20 \times 10$



# Perles pour une forme « en L » $20 \times 10$



## Encodage de la forme de base (Kerov)



$$a_0 < b_1 < a_1 < \dots < b_m < a_m \in \mathbb{Z}$$

$$\sum_{i=0}^m a_i = \sum_{i=1}^m b_i$$



## Lemme

Pour  $(x, t) \in [a_0, a_m] \times [0, 1]$ , l'équation en la variable  $U$  :

$$U \prod_{i=1}^n (x - b_i + U) = (1 - t) \prod_{i=0}^m (x - a_i + U)$$

*a au plus deux solutions non réelles (conjuguées)*

## Définition

- région *liquide* :  $\{(x, t) ; 2 \text{ racines non-réelles } U_c, \overline{U_c}\}$

$$\alpha(x, t) := \frac{\text{Im}(U_c)}{1 - t}, \quad \beta(x, t) := \frac{\text{Re}(U_c)}{|U_c|}$$

- région *gelée* :  $\{(x, t) ; \text{pas de racines non-réelles}\}$

$$\alpha(x, t) := 0$$

## Forme limite pour les perles

### Théorème (BBFM)

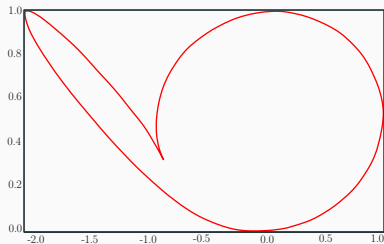
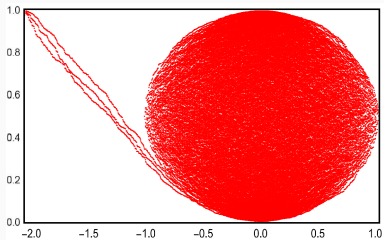
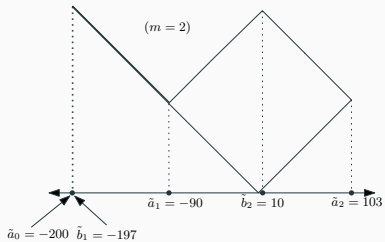
Quand  $N \rightarrow \infty$ , la fonction de hauteur renormalisée

$H_{\lambda N, T^N}(\lfloor Nx \rfloor, t)$  converge en probabilité pour la norme sup vers

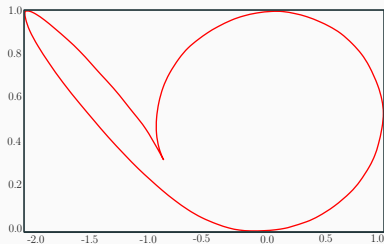
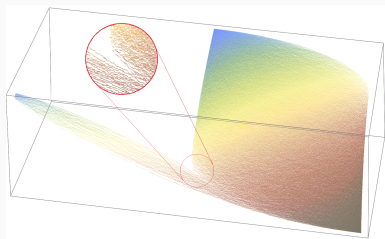
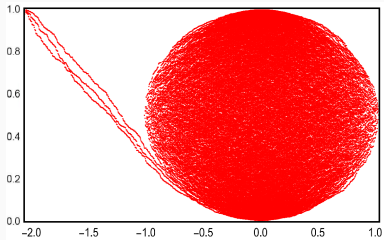
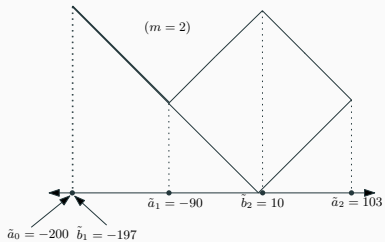
$$H^\infty(x, t) = \frac{1}{\pi} \int_0^t \alpha(x, s) ds$$

- Moralement,  $\alpha$  : densité de perles le long du fil
- En utilisant  $T(x, y) < t \Leftrightarrow H_{\lambda, T}(x, t) > \frac{1}{2}(y - |x|)$ , on peut remonter à la forme limite de  $T^N$  renormalisé comme fonction au dessus de  $\lambda_0$
- **Attention !** Certaines discontinuités pour  $T^\infty$

# L'exemple de la « pipe »



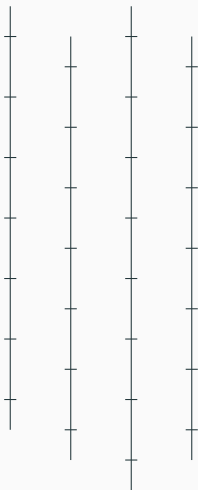
# L'exemple de la « pipe »



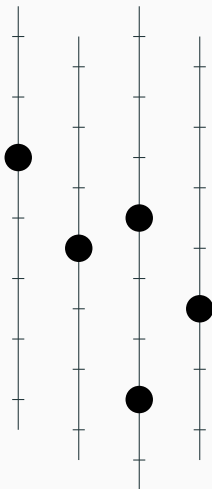
Gorin–Rahman (2019)

- étude des tableaux de Young poissonnés de taille finie
- intéressés par le cas « escalier » en lien avec les *random sorting networks*
- processus déterminantal avec noyau explicite
- noyau : limite à partir d'un processus discrétisé

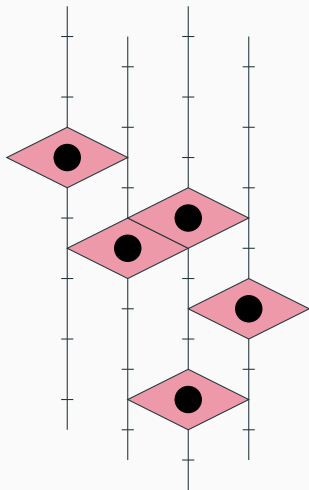
# Configurations de perles discrétisées



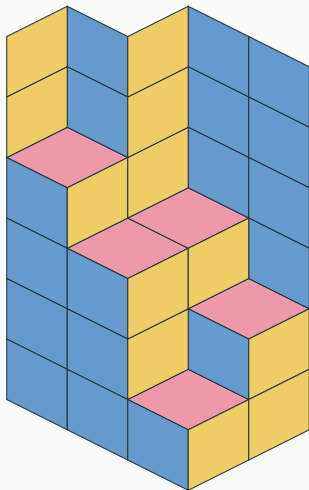
# Configurations de perles discrétisées



## Configurations de perles discrétisées



## Configurations de perles discrétisées



Pavages de demi-hexagones tronqués (Petrov 2015)  
noyau explicite calculé par théorème d'Eynard–Mehta

## Noyau déterminantal de Gorin-Rahman réécrit

$$K_\lambda((x_1, t_1), (x_2, t_2)) = - \oint_{\gamma_z} \oint_{\gamma_w} \frac{F_\lambda(z)}{F_\lambda(w)} \frac{\Gamma(w - x_1 + 1)}{\Gamma(z - x_2 + 1)} \frac{(1 - t_2)^{z-x_2} (1 - t_1)^{-w+x_1-1}}{z - w} \frac{dzdw}{(2i\pi)^2}$$

où

- $F_\lambda(u) = \frac{\prod_{i=0}^m \Gamma(u - a_i + 1)}{\prod_{i=1}^m \Gamma(u - b_i + 1)}$
- $\gamma_z$  à l'intérieur (extérieur) de  $\gamma_w$  si  $t_1 \geq t_2$  ( $t_1 < t_2$ )
- $\gamma_w$  contient tous les entiers de  $[a_0, x_1 - 1]$
- $\gamma_z$  contient tous les entiers de  $[x_2, a_m - 1]$

## Analyse asymptotique autour d'un point $(x_0 N, t_0)$

Remplacer  $a_i \rightsquigarrow Na_i$

$$K_{\lambda N}((Nx_0 + x_1, t_0 + \frac{t_1}{N}, Nx_0 + x_2, t_0 + \frac{t_2}{N})) \sim \iint \exp(N(S(Z; x_0, t_0) - S(W; x_0, t_0))) (\dots) dZ dW$$

$$S(Z; x, t) = g(Z) - Z \log(1-t) - \sum_{i=0}^m g(x - a_i + Z) + \sum_{i=1}^m g(x - b_i + Z)$$

avec  $g(z) = z \log z$

# Analyse asymptotique autour d'un point $(x_0 N, t_0)$

Remplacer  $a_i \rightsquigarrow Na_i$

$$K_{\lambda N}((Nx_0 + x_1, t_0 + \frac{t_1}{N}, Nx_0 + x_2, t_0 + \frac{t_2}{N})) \sim \iint \exp(N(S(Z; x_0, t_0) - S(W; x_0, t_0))) (\dots) dZ dW$$

$$S(Z; x, t) = g(Z) - Z \log(1-t) - \sum_{i=0}^m g(x - a_i + Z) + \sum_{i=1}^m g(x - b_i + Z)$$

avec  $g(z) = z \log z$

Equation :

$$U \prod_{i=1}^n (x_0 - b_i + U) = (1 - t_0) \prod_{i=0}^m (x - a_i + U) \quad (\heartsuit)$$

donne les points critiques de  $S$

## Plus d'information données par le noyau

- **densité de perles**  $\alpha$  : noyau avec  $x_1 = x_2 = 0$ ,  $t_1 = t_2 = 0$
- **courbe arctique** séparant phases liquide/gelée  
quand les deux racines complexes de ( $\heartsuit$ ) fusionnent  
**=courbe algébrique**
- limite locale des perles : processus ponctuel sur  $\mathbb{Z} \times \mathbb{R}$   
**processus du collier de perles** de param  $\alpha, \beta$  (B. 2009)
  - ergodique
  - chaque marginale sur  $\mathbb{R}$  : déterminantal, noyau sinus
  - limite de pavages, GUE corner process
- définition limite locale pour les tableaux de Young